

УДК 54.03;548.4

ВЛИЯНИЕ ВЫСОКОТЕМПЕРАТУРНОГО ОТЖИГА НА АНИЗОТРОПИЮ МИКРОТВЕРДОСТИ КРИСТАЛЛОВ СЕМЕЙСТВА ЛАНГАСИТА

© О. М. Кугаенко¹, Е. С. Торшина¹, В. С. Петраков¹, О. А. Бузанов², С. А. Сахаров²

Статья поступила 1 июля 2014 г.

Исследована микротвердость монокристаллов семейства лантан-галлиевого силиката тригонального класса симметрии 32 пространственной группы P_{321} по методу Кнуппа. Обнаружена анизотропия микротвердости II рода (микротвердость различных кристаллографических плоскостей кристалла) на кристаллографических плоскостях $(11\bar{2}0)$, $(01\bar{1}0)$, (0001) . Изучено влияние высокотемпературного отжига на восстановление отпечатка после индентирования по методу Кнуппа. Установлено влияние атмосферы отжига на анизотропию микротвердости II рода на основных кристаллографических плоскостях $(11\bar{2}0)$, $(01\bar{1}0)$, (0001) монокристаллов семейства лангасита.

Ключевые слова: микротвердость; анизотропия микротвердости; метод Кнуппа; массоперенос; монокристаллы семейства лангасита; отжиг в вакууме и на воздухе; атомно-силовой микроскоп (ACM).

Кристаллы семейства лантан-галлиевого силиката (лангасит) представляют собой группу кристаллов, изоструктурных кальций-галлиевому германату ($\text{Ca}_3\text{Ga}_2\text{GeO}_{14}$), и относятся к тригональному классу симметрии 32 пространственной группы P_{321} . Такие структуры удобно рассматривать состоящими из координационных полизидров. В данном структурном типе вдоль кристаллографической оси Z попаременно располагаются слои, состоящие из позиций тетраэдрических и октаэдрических с додекаэдрическими [1]. Кристаллы в процессе роста формируются слоями, расположенными перпендикулярно кристаллографическому направлению $[0001]$ [2].

Кристаллы семейства лангасита и кварца обладают различными параметрами решетки в направлениях Z и X [3], что является характерным для кристал-

лов тригональной сингонии с сильной антисимметрией свойств. Соотношение осей c/a в элементарной ячейке кристаллов лангасита достигает 0,6.

Монокристаллы семейства лангасита — это сильные пьезоэлектрики с низкой скоростью сдвиговых объемных и поверхностных волн и редкой для кристаллов высокой акустической добротностью. Этим кристаллам присуще уникальное сочетание ряда физических свойств, важнейшими из которых для практического использования являются:

отсутствие фазовых переходов вплоть до температуры плавления 1450°C ;

высокий коэффициент электромеханической связи, в 2–4 раза превышающий КЭМС α-кварца.

Физические свойства лангасита (ЛГС), лангатата (ЛГТ), катангасита (КТГС) и кварца представлены в табл. 1.

Таблица 1. Общие физические свойства лангасита, лангатата, катангасита и кварца

Физическая величина	Лангасит ($\text{La}_3\text{Ga}_5\text{SiO}_{14}$)	Лангатат ($\text{La}_3\text{Ta}_{0,5}\text{Ga}_{5,5}\text{O}_{14}$)	Катангасит ($\text{Ca}_3\text{TaGa}_3\text{Si}_2\text{O}_{14}$)	Кварц (SiO_2)
Температура плавления, $^\circ\text{C}$	1470	1470	1320	1728
Температура фазового перехода, $^\circ\text{C}$	—	—	—	570
Твердость по Моосу	6,6	6,6 – 7	6,6 – 7	7
KTP, 10^{-6} K^{-1}				
$a_{11} (\ a, x)$	5,63	6,13 [4]	6,67 [4]	
$a_{33} (\ c, z)$	4,08	4,45 [4]	3,3 [4]	
Термические свойства при 27°C :				
удельная теплоемкость C_p , Дж/($\text{г} \cdot \text{K}$)	0,45	0,40	0,57	
температура Дебая Θ_D , К	740	740 [5]	1000 [4]	
Температурная проводимость, Вт/($\text{м} \cdot \text{К}$)				
K_X	1,3	1,2	1,5	
K_Z	1,9	1,7	2,4	
Коэффициент электромеханической связи	15,8	30		7

Монокристаллы семейства лангасита относятся к твердым хрупким материалам с температурой упруго-пластического перехода выше $0,9T_{\text{пл}}$ [6]. Под воздействием термоудара и циклических нагрузений при комнатной температуре при нагрузках ниже предела текучести в хрупких монокристаллах ЛГТ обнаружено существенное изменение микроструктуры, указывающее на протекание процессов пластической деформации, — возрастание плотности дислокаций на 3–4 порядка по сравнению с исходной, двойникование и образование мезоструктуры. Разрушение кристаллов происходит в основном путем растрескивания по плоскостям Y и X [7].

В настоящее время основная область применения кристаллов — изготовление чувствительных элементов пьезоэлектрических датчиков температуры (до 150 °C на основе кварца и до 600 °C на основе ЛГС), а также датчиков давления, ускорения, вибрации (на основе кристаллов ЛГТ), работоспособных до температуры 600 °C. Разрабатываются датчики температуры до 1000 °C. При установке их в двигатели внутреннего сгорания пьезоэлектрические элементы датчиков работают в экстремальных условиях переменных нагрузок как механических, так и термических. В связи с расширением применений кристаллов в условиях термомеханических нагрузок для оценки их работоспособности необходимо изучение механических характеристик в широком интервале температур.

Целью работы является изучение анизотропии механических свойств монокристаллов группы лангасита. Для оценки механических свойств по объему и в плоскостях срезов кристаллов исследуется влияние высокотемпературного отжига на анизотропию микротвердости кристаллов семейства лангасита.

Материалами для испытаний служили монокристаллы группы лантан-галлиевого силиката, выращенные на ОАО «Фомос-Материалс» по методу Чохральского. Из монокристаллов были вырезаны образцы в виде пластин ЛГС и КТГС с плоскостью (0110) и кубики ЛГТ размером 10 × 10 × 10 мм с различной кристаллографической ориентацией. Поверхности срезов обрабатывали механически до состояния оптической полировки. Шероховатость R_a поверхности образцов не превышает 0,006 мкм, плоскость поверхности — 0,255–0,650 мкм на длине образца. Кристаллографические направления в исследуемой плоскости определяли методом дифракции рентгеновских лучей с помощью дифрактометра D8 Discover, оснащенного сцинтилляционным детектором Bruker. Плотность дислокаций в исходных кристаллах, выявленная избирательным химическим травлением, не превышала 10^4 см^{-2} .

Измерения микротвердости кристаллов семейства лантан-галлиевого силиката проводили на полуавтоматическом микротвердомере Tukon 2100B при вдавливании алмазного индентора по методу Кнуппа.

Прибор позволяет варьировать в широком диапазоне величину прилагаемой нагрузки, время ее приложения и время выдержки под нагрузкой (автоматическое нагружение и разгрузка) с использованием оснащенного приводом устройства с обратной связью. На нем можно исследовать такие хрупкие материалы, как кристаллы семейства ЛГС. Индентор Кнуппа представляет собой алмазную пирамиду с углами у вершины 130° и 172°30' с ромбическим основанием и отношением длин диагоналей отпечатка 1:7. Индентирование по методу Кнуппа включает измерение одной длинной диагонали отпечатка и последующий пересчет в значение микротвердости. Измерения проводили при нагрузке на индентор Кнуппа 0,05 кгс, длинная диагональ на поверхности материала составила ~30 мкм.

На поверхности образца получали легко измеряемые не разрушенные ромбические отпечатки, а измерение большой диагонали отпечатка повышала точность измерения при малых нагрузках. Все приведенные в статье данные по микротвердости являются результатом статистической обработки измерений, каждое значение — результат обработки измерений 17–25 отпечатков. Микротвердость рассчитывали только по отпечаткам без нарушений и без трещин. Отпечатки с трещинами в расчет не принимали.

Показано, что при относительной вероятности Стюдента 0,95 случайная погрешность измерений микротвердости кристаллов семейства лангасита не превышает 1,5 %.

Результаты измерения микротвердости существенно зависят от кристаллографической ориентации и качества обработки исследуемой поверхности, от условий проведения измерения, выбора нагрузки на индентор, длительности нагружения и выдержки под нагрузкой, правильного размещения отпечатков на исследуемом образце.

На разных поверхностях анизотропного монокристалла в связи с различной ретикулярной плотностью размеры отпечатков, нанесенных при одинаковой нагрузке, оказываются различными, зависящими от ориентации индентора относительно кристаллографических направлений в кристалле.

Для оценки анизотропии II рода используется коэффициент анизотропии микротвердости [8]

$$P_k = \frac{H_{\max}}{H_{\min}} = \left(\frac{d_{\min}}{d_{\max}} \right)^2,$$

где H_{\max}, H_{\min} — микротвердость, кгс/мм²; d_{\max}, d_{\min} — диагонали отпечатков индентора, измеренные на разных плоскостях образца, мм.

Для обеспечения независимости измеряемых параметров от типа обработки, разной точности ориентации граней, места вырезки образцов по сечению и по длине монокристаллической булы микротвердость измеряли на образцах в виде кубиков монокристаллов

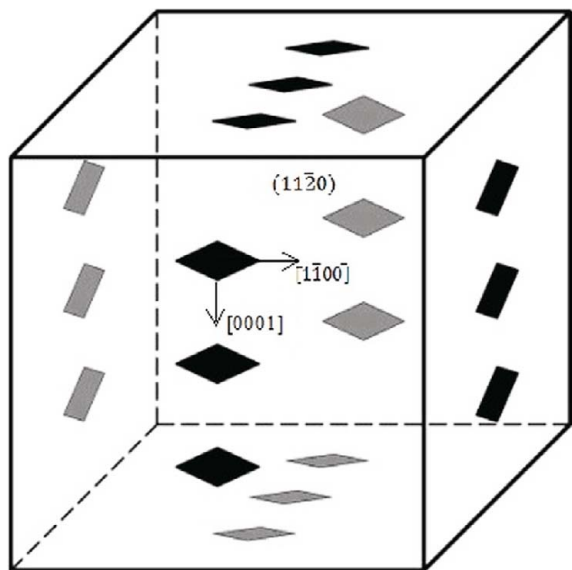


Рис. 1. Схема ориентации индентора при измерении микротвердости на разных гранях

ЛГТ, отожженных на воздухе и в вакууме при температуре 1000 °С. Ориентацию граней контролировали рентгеновским способом.

Сравнение значений микротвердости на различных гранях возможно только при четкой кристаллографической ориентации оси индентора на изучаемой плоскости. На рис. 1 представлена схема ориентации индентора Кнуппа при измерении микротвердости на разных гранях кристалла. Отпечатки наносили на поверхность с направлением длинной диагонали индентора перпендикулярно исследуемому кристаллографическому направлению. Такой выбор геометрии воздействия определяет массоперенос материала при образовании отпечатка индентора в направлении, перпендикулярном расположению длинной диагонали индентора.

Значения микротвердости при индентировании по методу Кнуппа кубиков кристаллов ЛГТ до и после отжига при температуре 1000 °С на воздухе и в вакууме представлены в табл. 2.

Высокотемпературный отжиг приводит к снижению микротвердости кристаллов, что, очевидно, свя-

Таблица 2. Микротвердость при нагрузке 0,05 кгс монокристаллов ЛГТ после отжига

Плоскость измерения	Микротвердость монокристаллов ЛГТ, кгс/мм ²		
	до отжига	отожжен на воздухе	отожжен в вакууме
(11-20)	760 ± 5	745 ± 5	770 ± 5
(11-20)	760 ± 5	745 ± 5	775 ± 5
(01-10)	800 ± 5	705 ± 5	765 ± 5
(01-10)	790 ± 5	700 ± 5	745 ± 5
(0001)	840 ± 5	745 ± 5	775 ± 5
(0001)	830 ± 5	750 ± 5	770 ± 5

зано с релаксацией послеростовых напряжений и уменьшением плотности дефектов.

В кристаллах ЛГТ, отожженных на воздухе и в вакууме при 1000 °С, наблюдается анизотропия микротвердости II рода на основных кристаллографических плоскостях (11-20), (01-10), (0001), связанная с различной ретикулярной плотностью граней и с величиной сил связей в них. Кристаллографические плоскости (0001) являются плотноупакованными плоскостями в кристалле ЛГТ. В наиболее плотноупакованной плоскости, где межатомные расстояния меньше, достаточно легко происходят перестройка структуры и скольжение дислокаций, тогда как на плоскостях (11-20), (01-10) в направлениях [11-20] и [10-10] незначительные повышения напряжений выше 0,05 кгс приводят к образованию трещин вокруг отпечатка индентора.

В работах [9 – 10] показано, что высокотемпературный отжиг кристаллов изменяет состояние точечных дефектов — ассоциатов из кислородных вакансий и электронов.

После вакуумного отжига повышается плотность кислородных вакансий, уменьшается валентность галлия до единицы, образуются кластеры легколетучего Ga₂O, происходит испарение Ga₂O с поверхности пластины [11]. Очевидно, спад основной фазы ЛГТ связан с тем, что скорость (коэффициент) диффузии атомов галлия в решетке кристаллов лангасита по аналогии с квартцем [12] намного превышает скорость диффузии других компонентов соединения кристаллов лангасита. Это приводит к потере галлия с образованием летучей двуокиси галлия и появлением в слое обедненных галлием окислов основных компонентов. Высокотемпературный отжиг в вакууме приводит к увеличению микротвердости и уменьшению ее анизотропии на разных плоскостях, что, очевидно, связано с наличием в приповерхностном слое кристалла после вакуумного отжига продуктов распада основной фазы.

Высокотемпературный отжиг на воздухе способствует локализации электронов на кислородной вакансии, $(V_0^{\bullet}, 2e)^{\times} > V_0^{\bullet}$. Кроме того, благодаря высокому парциальному давлению кислорода и подавлению процесса образования летучей окиси галлия, он сохраняет фазовый состав кристалла и изначальное состояние поверхности образцов. После отжига на воздухе наблюдается уменьшение микротвердости, что связано с более легким массопереносом вещества при индентировании кристаллической поверхности материала без дефектов, что подтверждается в работе [13] высокотемпературными рентгеновскими исследованиями фазового состава кристаллов семейства лангасита в области температур от комнатной до 1200 °С.

Изучение процессов массопереноса при восстановлении отпечатков индентора Кнуппа на кристаллах семейства лангасита проведено на атомно-силовом микроскопе (ACM) Integra компании NT-MDT (рис. 2). ACM позволяет изучать рельеф и свойства поверх-

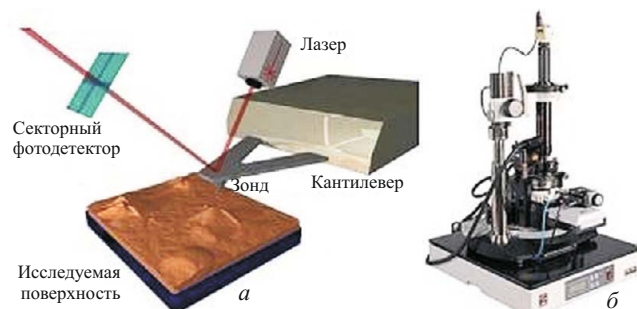


Рис. 2. Принципиальная схема (а) и общий вид (б) атомно-силового микроскопа НТ-МДТ

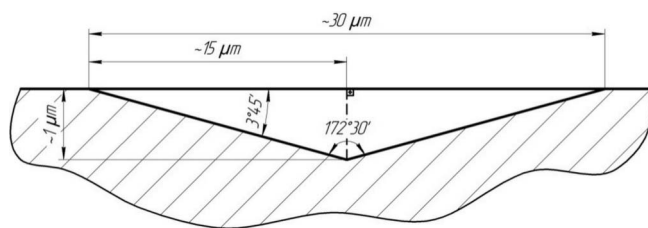


Рис. 3. Схема продольного сечения отпечатка индентора Кнуппа при нагрузке 0,05 кгс

ности методом зондовой микроскопии, достигая при этом атомно-молекулярного разрешения.

На исследуемую поверхность (0110) монокристаллов ЛГС и КТГС при комнатной температуре при нагрузке $P = 0,05$ кгс наносят отпечатки индентором Кнуппа с различной ориентацией длинной оси индентора. До снятия нагрузки расчетная глубина погружения индентора равна 1 мкм, длинная диагональ отпечатка — 30 мкм (рис. 3).

После снятия нагрузки глубина восстановленного отпечатка индентора уменьшается до 0,7 мкм, а профиль отпечатка указывает на вынос материала с образованием «отвалов» над поверхностью образца на высоту до 0,15 мкм. На рис. 4 показаны профили продольного (по длинной диагонали) и поперечного сечений восстановленных отпечатков разной ориентации: в направлении [1120] и [0001] на монокристаллах ЛГС и КТГС. Уменьшение глубины отпечатка примерно в 1,5–2 раза при комнатной температуре указывает на восстановление его в результате массопереноса путем миграции атомов и релаксации высоких локальных механических напряжений, прежде всего упругих. Общей чертой реализации ускоренной миграции атомов вокруг отпечатка индентора является упругая и пластическая деформация материала.

В направлении [0001] площадь выноса материала равна 23,9 мкм²; объем выноса материала в отвалах — 4,9 мкм³ при объеме отпечатка Кнуппа 12,9 мкм³ (рис. 5, а).

Площадь выноса материала над поверхностью на монокристалле ЛГС с поверхностью (0110) в направлении [1120] равна 31,6 мкм²; объем выноса материа-

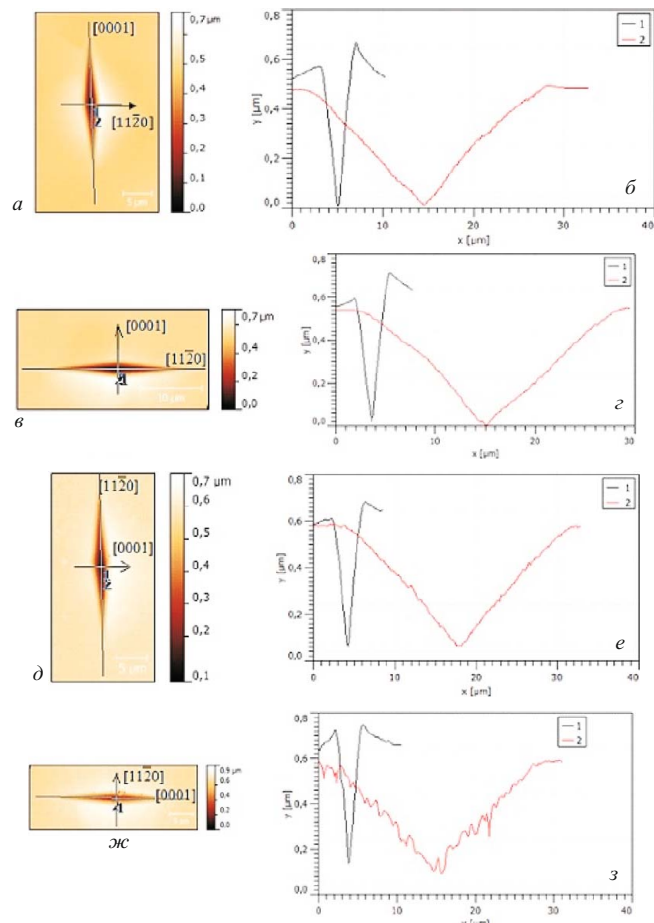


Рис. 4. Профили восстановленных при комнатной температуре отпечатков индентора Кнуппа на поверхности (0110) кристаллов ЛГС (а, г) и КТГС (д–з), $P = 0,05$ кгс: а, в, д, ж — изображение АСМ; б, г, е, з — профили отпечатков после снятия нагрузки — в поперечном сечении по короткой диагонали (1) и в продольном сечении по длинной диагонали (2)

ла — 2,7 мкм³; объем отпечатка Кнуппа — 13,5 мкм³ (рис. 5, б).

Разные объемы выноса материала на одной поверхности кристалла ЛГС свидетельствуют о полярной анизотропии поверхности кристалла. Объем вынесенного материала больше в направлении [0001] за счет большего сопротивления материала в данном направлении при индентировании.

Площадь выноса материала в отвалы над поверхностью на монокристалле КТГС на поверхности (0110) в направлении [0001] равна 23,6 мкм²; в направлении [1120] — 49,6 мкм², что указывает на значительную деформацию материала вокруг отпечатка и объясняет полярную зависимость анизотропии микротвердости. В кристаллах семейства лангасита, характеризующихся слоистой структурой, в направлении [0001] затруднен массоперенос через слой плотнейшей упаковки по сравнению с направлением [1120] вдоль слоя. Объем выноса материала в направлении [0001] равен 5,4 мкм³, в направлении [1120] — 1,7 мкм³; объем отпечатка индентора в направлении [0001] — 16,5 мкм³ (рис. 5, в); в направлении

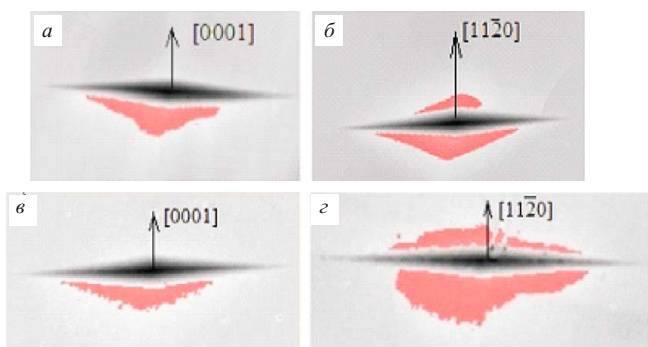


Рис. 5. Вынос материала на поверхности $(01\bar{1}0)$ монокристаллов ЛГС (*а, б*) и КТГС (*в, г*): *а, в* — в направлении $[0001]$; *б, г* — в направлении $[11\bar{2}0]$

$[11\bar{2}0]$ — $18,3 \text{ мкм}^3$ (рис. 5, *г*). На монокристалле КТГС также видна анизотропия выноса материала.

В монокристаллах ЛГС и КТГС при комнатной температуре массоперенос вещества при индентировании происходит за счет участия точечных дефектов как носителей пластической деформации кристаллов при действии сосредоточенной нагрузки. Перенос, возможно, может осуществляться и в других конфигурациях межузельных атомов. Как правило, межузельный перенос масс не заметен на фоне вакансационного при $T = 25^\circ\text{C}$, поскольку концентрация межузельных атомов благодаря высокой энергии их образования незначительна по сравнению с концентрацией вакансий.

Обнаружена анизотропия площади и объема выноса в отвалы (выдавленного из-под индентора материала) на плоскости $(01\bar{1}0)$ в направлениях $[0001]$ и $[11\bar{2}0]$ как в монокристалле КТГС, так и ЛГС, что указывает на полярную анизотропию пластической деформации и движение межузельных атомов при деформации. Также можно предположить, что движение межузельных ионов от места внедрения индентора происходило в краудионной конфигурации. Важнейшим признаком движения краудионов является кристаллографическая направленность выноса межузельных точечных дефектов из-под индентора. Они могут перемещаться в строго определенных кристаллографических направлениях — расположения цепочек одноименных ионов в кристаллах.

Высокотемпературный отжиг на воздухе при 600°C монокристалла ЛГС приводит к дальнейшему восстановлению отпечатка индентора и уменьшению глубины отпечатка (рис. 6, *а*). Профиль отпечатка по глубине неоднороден и несимметричен, что связано с неоднородным восстановлением отпечатка в процессе отжига и указывает на релаксацию высоких локальных механических напряжений, деформации и дефектам структуры кристалла. Объем выноса материала равен $4,4 \text{ мкм}^3$ при объеме отпечатка $19,2 \text{ мкм}^3$. Высокотемпературный отжиг на воздухе усиливает влияние дефектов структуры на изменение подвижности атомов в кристалле ЛГС.

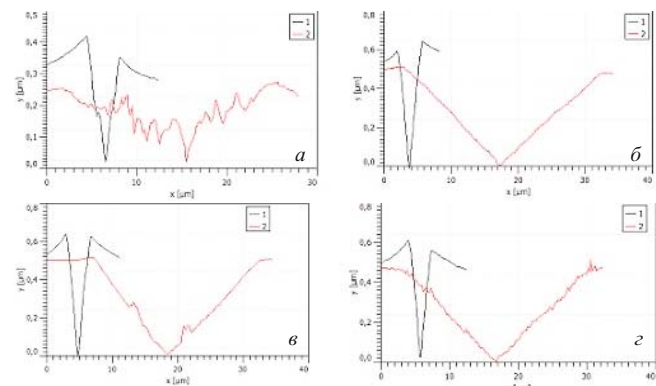


Рис. 6. Профиль отпечатка индентора Кнудсена в поперечном (*1*) и продольном (*2*) сечениях на кристаллах ЛГС (*а, б*) и КТГС (*в, г*) с поверхностью $(01\bar{1}0)$ после высокотемпературного отжига на воздухе (*а, в* — при 600°C ; *б, г* — при 800°C)

Глубина отпечатка после высокотемпературного отжига на воздухе при 800°C монокристалла ЛГС составила $0,5 \text{ мкм}$ (рис. 6, *б*). Площадь выноса материала — $2,4 \text{ мкм}^2$ при объеме отпечатка $18,3 \text{ мкм}^3$. Профиль отпечатка достаточно ровный, что связано с его однородным восстановлением при более высокой температуре.

В монокристаллах КТГС восстановление отпечатка с увеличением температуры происходит более интенсивно. Высокотемпературный отжиг на воздухе при 600°C также неоднородно восстанавливает отпечаток индентора. Глубина отпечатка равна $0,5$ — $0,6 \text{ мкм}$ (рис. 6, *в*). Площадь выноса материала — $28,3 \text{ мкм}^2$ при объеме отпечатка $16,9 \text{ мкм}^3$.

В монокристаллах КТГС глубина отпечатка после высокотемпературного отжига на воздухе при 800°C не изменилась (рис. 6, *г*). Объем вынесенного материала над поверхностью после отжига уменьшился в два раза.

Зависимость объема выноса материала над поверхностью монокристаллов КТГС и ЛГС с поверхностью $(01\bar{1}0)$ от температуры отжига представлена на рис. 7. Подобие кривых указывает на одинаковые процессы релаксации возмущений вокруг отпечатка индентора при разной микротвердости кристаллов ЛГС и КТГС.

Массоперенос при индентировании существенно зависит от одновременного действия нескольких процессов различной физической природы, включающих изменение структурного состояния кристалла, образование различных дефектов кристаллической решетки, возникновение напряжений и другие эффекты. В кристаллах ЛГС и КТГС после высокотемпературного отжига при 800°C в два раза уменьшается объем выноса материала над поверхностью, что связано с протеканием диффузионных процессов миграции точечных дефектов, приводящих к залечиванию отпечатка.

Микротвердость *НК* монокристаллов ЛГС на поверхности $(01\bar{1}0)$ равна $(790 \pm 5) \text{ кгс}/\text{мм}^2$; *НК* монокристаллов КТГС — $(760 \pm 5) \text{ кгс}/\text{мм}^2$; диагональ от-

печатка для монокристаллов КТГС и ЛГС — 30 мкм. Результаты влияния высокотемпературного отжига на восстановление отпечатка индентора Кнуппа на плоскости (0110) и релаксацию возмущений в области отпечатка индентора представлены в табл. 3.

Нестационарная деформация, локализующаяся вблизи отпечатка, является необходимым условием для проявления обобщенной термодинамической движущей силы, обеспечивающей ускоренный массоперенос при отжиге кристаллов. Аномальный массоперенос происходит одновременно с диффузией и, как правило, с процессами недиффузионной природы типа «механической диффузии», вызванной внедрением в кристалл индентора, либо направленного движения потоков атомов, обусловленного, например, движением дислокаций. Однако их вклад в общий поток является различным.

Диффузионный поток дефектов при нагружении вызывает массоперенос вакансий в область более высоких напряжений, а межузельных атомов — навстречу, в область низких напряжений. Диффузионная подвижность точечных дефектов пропорциональна коэффициенту диффузии D , а скорость дрейфа дефекта является скоростью термоактивационного процесса. Трехмерная диффузия в среде с градиентом концентрации c [$c(x, y, z; t)$] описывается как $\mathbf{J} = -D \operatorname{grad} c$, где \mathbf{J} — вектор плотности диффузионного потока; $\operatorname{grad} c$ — градиент поля концентрации. С повышением температуры T (при постоянном объеме) D возрастает пропорционально $T^{1/2}$, так как $u \sim \sqrt{T}$.

Отпечаток индентора Кнуппа представляет собой пирамиду с основанием в виде ромба, глубина которого при исследовании микротвердости кристаллов семейства лангасита составляет примерно 1 мкм при приложении нагрузки 0,05 кгс. Образование отпечатка сопровождается отвалом материала над поверхностью с высотой до 100 нм и объемом 4–5 мкм³. Исследования процесса массопереноса при индентировании по профилю отпечатка индентора на атомно-силовом микроскопе показали, что уже при комнатной температуре при снятии нагрузки происходит восстанов-

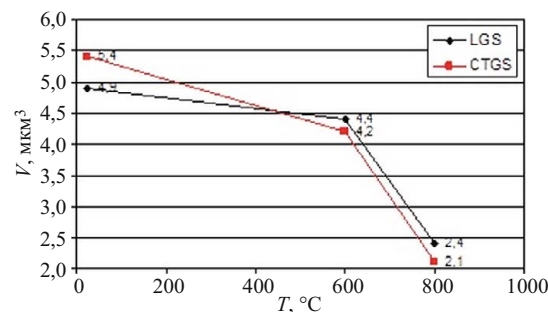


Рис. 7. Температурная зависимость объема выноса материала над поверхностью для монокристаллов ЛГС и КТГС с поверхностью (0110)

ление отпечатка с уменьшением его глубины до 50 %. С повышением температуры нагрева образцов с отпечатками индентора происходит дальнейшее восстановление формы и глубины отпечатка. Отжиги при температурах до 600 °C приводят к ступенчатому восстановлению глубины отпечатка, что указывает на неоднородную релаксацию высоких локальных механических напряжений, соответственно, деформации и дефектам структуры кристалла. Повышение температуры отжига до 800 °C позволяет получать более однородное восстановление исходного отпечатка при его застарении до 60 % по глубине, связанное с высокотемпературными диффузионными процессами восстановления нарушенной индентированием структуры кристалла в соответствии с анизотропией массопереноса в кристалле. При высокотемпературном отжиге также уменьшается в два раза объем отвалов — выноса материала над поверхностью образца. Восстановление формы и глубины отпечатка, а также уменьшение объема выноса материала происходит за счет возникшего градиента концентрации точечных дефектов: вакансий галлия и кислорода на поверхности кристалла и движения межузельных атомов в глубь кристалла. Градиент напряжений в цепочках перемещаемых дефектов дает весомый вклад в энергию активации процесса массопереноса и способствует ускоренному перемещению ансамблей точечных дефектов.

Таблица 3. Результаты влияния высокотемпературного отжига на восстановление отпечатка индентора Кнуппа на плоскости (0110)

Определяемые характеристики	Направления	Температура, °C					
		25	600	800	25	600	800
Объем отпечатка, мкм ³	[112̄0]	13,5	19,2	18,3	18,3	16,6	15,9
	[0001]	12,9		—	16,5		—
Объем выноса материала, мкм ³	[112̄0]	2,7	4,4	2,4	1,7	4,2	2,1
	[0001]	4,9		—	5,4		—
Площадь выноса материала, мкм ²	[112̄0]	31,6	30,1	20,3	49,6	28,4	10,6
	[0001]	23,9		—	36,5		—
Глубина профиля, мкм	[112̄0]	0,5 – 0,6	0,4 – 0,5	0,4 – 0,5	0,5 – 0,7	0,5 – 0,6	0,5 – 0,6
	[0001]	0,5 – 0,7		—	0,5 – 0,6		—
Максимальная высота «отвала» над поверхностью, мкм	[112̄0]	0,12	0,14	0,15	0,18	0,14	0,15
	[0001]	0,16		—	0,12		—

Результаты исследований согласуются с наблюдаемым массопереносом при индентировании хрупких и многокомпонентных кристаллов в работах М. Ш. Акчуриной, В. Л. Инденбома и др. [14, 15].

Таким образом, обнаружено влияние атмосферы высокотемпературного отжига на микротвердость кристаллов ЛГТ и на уменьшение анизотропии микротвердости, что связано с преобразованием дефектов в приповерхностном слое образца. Микротвердость кристаллов после отжига на воздухе ниже, чем на аналогичных плоскостях кристаллов после отжига в вакууме.

Установлена ретикулярная анизотропия микротвердости (II рода) хрупких многокомпонентных монокристаллов семейства лангасита на базисной и призматических плоскостях монокристаллов ЛГТ, достигающая 20 %.

Исследования на атомно-силовом микроскопе процесса восстановления отпечатка после снятия нагрузки индентора показали, что при комнатной температуре происходит восстановление отпечатка путем упругой деформации с уменьшением его глубины до 50 %. С повышением температуры объем «отвала» вокруг отпечатка уменьшается в два раза и связан с движением точечных дефектов.

Процессы релаксации возмущений вокруг отпечатка индентора имеют одинаковую природу для хрупких кристаллов семейства лангасита при разной исходной микротвердости кристаллов.

ЛИТЕРАТУРА

- Гринев Б. В., Дубовик М. Ф., Толмачев А. В. Оптические монокристаллы сложных оксидных соединений. — Харьков: Институт монокристаллов, 2002. — 251 с.
- Mill B. V., Pisarevsky Yu. V. Langasite-type materials: from discovery to present state / Proc. 2000 IEEE Inter. Frequency Control Symp. 2000. P. 133 – 144.
- Миль Б. В., Бугашин А. В., Ходжабагян Г. Г. и др. Модифицированные редкоземельные галлаты со структурой $\text{Ca}_3\text{Ga}_2\text{Ge}_4\text{O}_{14}$ / Доклады Академии Наук СССР. 1982. Т. 264. № 6. С. 1385 – 1389.
- Кугаенко О. М., Уварова С. С., Бузанов О. А. и др. Основные теплофизические параметры монокристаллов лангасита ($\text{La}_3\text{Ga}_5\text{SiO}_{14}$), лангатата ($\text{La}_3\text{Ta}_{0.5}\text{Ga}_{5.5}\text{O}_{14}$) и катангасита ($\text{Ca}_3\text{TaGa}_3\text{Si}_2\text{O}_{14}$) в интервале температур от комнатной до 1000 °C / Известия РАН. Серия физическая. 2012. Т. 76. С. 1406 – 1411.
- Андреев И. А. Монокристаллы семейства лангасита — необычное сочетание свойств для применения в акустоэлектронике / Журнал технической физики. 2006. Т. 76. № 76. С. 80 – 86.
- Аронова А. М., Бережкова Г. В., Бугашин А. В. и др. Прочность и пластичность монокристаллов $\text{La}_3\text{Ga}_5\text{SiO}_{14}$ / Кристаллография. 1990. С. 93.
- Кугаенко О. М., Уварова С. С., Бузанов О. А. и др. Пластическая деформация пьезоэлектрических кристаллов лантан-галлиевого tantalata при циклических механических воздействиях / Деформация и разрушение материалов. 2012. № 2. С. 16 – 21.
- Колесников Ю. В., Морозов Е. М. Механика контактного разрушения. — М.: Наука, 1989. — 224 с.
- Sakharov S., Pisarevsky Y., Medvedev A. Surface and volume defects in langasite crystals / Proc. IEEE International Frequency Control Symposium. 1995. P. 642 – 646.
- Доморощина Е. Н., Кузьмичева Г. М., Рыбаков В. Б., Дубовский А. Б., Тюнина Е. А., Степанов С. Ю. Связь между условиями выращивания, строением и оптическими свойствами кристаллов лангасита — $\text{La}_3\text{Ga}_5\text{SiO}_{14}$ / Перспективные материалы. 2004. № 4. С. 17 – 30.
- Бузанов О. А., Диденко И. С., Козлова Н. С., Скрылевая Е. А., Козлова А. П., Симинел Н. А. Влияние изотермического отжига на оптические параметры лантан-галлиевого tantalата / Известия вузов. Материалы электронной техники. 2012. № 1. С. 22 – 25.
- Физико-химические свойства окислов. Справочник под редакцией Г. В. Самсонова. — М.: Металлургия, 1978. — 472 с.
- Кугаенко О. М., Петраков В. С., Сагалова Т. Б. и др. Рентгеноструктурные исследования температурной устойчивости структуры кристаллов семейства лангасита / Сборник материалов Третьей международной молодежной научной школы-семинара «Современные методы анализа дифракционных данных (дифракционные методы для нанотехнологии) и актуальные проблемы рентгеновской оптики». — В. Новгород, 2011. С. 68 – 69.
- Акчурин М. Ш., Галстян В. Г., Регель В. Р., Рожанский В. Н. Микрокодотолюминесцентное исследование перемещения точечных дефектов при индентировании тугоплавких кристаллов / Поверхность. Физика, химия, механика. 1983. № 3. С. 119 – 123.
- Акчурин М. Ш., Галстян В. Г., Регель В. Р. О природе деформирования кристаллов сосредоточенной нагрузкой. РЭМ исследования / Изв. АН СССР. Сер. Физика. 1991. Т. 5. № 8. С. 1556 – 1567.

REFERENCES

- Grinev B. V., Dubovik M. F., Tolmachev A. V. Opticheskie monokristally slozhnykh oksidnykh soedinenii. — Khar'kiv: Izd. Institut monokristallov, 2002. — 251 p. [in Russian].
- Mill B. V., Pisarevsky Yu. V. Langasite-type materials: from discovery to present state / Proc. 2000 IEEE Inter. Frequency Control Symp. 2000. P. 133 – 144.
- Mill' B. V., Butashin A. V., Khodzhabagyan G. G., et al. Modifitsirovannye redkozemel'nye gallaty so strukturoi $\text{Ca}_3\text{Ga}_2\text{Ge}_4\text{O}_{14}$ / Dokl. AN SSSR. 1982. V. 264. N 6. P. 1385 – 1389. [in Russian].
- Kugaenko O. M., Uvarova S. S., Buzanov O. A., et al. Osnovnye teplofizicheskie parametry monokristallov langasita ($\text{La}_3\text{Ga}_5\text{SiO}_{14}$), langatata ($\text{La}_3\text{Ta}_{0.5}\text{Ga}_{5.5}\text{O}_{14}$) i katangasita ($\text{Ca}_3\text{TaGa}_3\text{Si}_2\text{O}_{14}$) v intervale temperatur ot komnatnoi do 1000 °C / Izv. RAN. Ser. Fiz. 2012. V. 76. P. 1406 – 1411 [in Russian].
- Andreev I. A. Monokristally semeistva langasita — neobychnoe sochetanie svoistv dlya primeneniya v akustoelektronike / Zh. Tekhn. Fiz. 2006. V. 76. N 76. P. 80 – 86 [in Russian].
- Aronova A. M., Berezhkova G. V., Butashin A. V., et al. Prochnost' i plastichnost' monokristallov $\text{La}_3\text{Ga}_5\text{SiO}_{14}$ / Kristallografiya. 1990. P. 93. [in Russian].
- Kugaenko O. M., Uvarova S. S., Buzanov O. A., et al. Plasticeskaya deformatsiya p'ezoolektricheskikh kristallov lantan-gallievogo tantalata pri tsiklicheskikh mehanicheskikh vozdeistviyakh / Deform. Razrush. Mater. 2012. N 2. P. 16 – 21. [in Russian].
- Kolesnikov Yu. V., Morozov E. M. Mekhanika kontaktного razrusheniya. — Moscow: Nauka, 1989. — 224 p. [in Russian].
- Sakharov S., Pisarevsky Y., Medvedev A. Surface and volume defects in langasite crystals / Proc. IEEE International Frequency Control Symposium. 1995. P. 642 – 646 [in Russian].
- Domoroshchina E. N., Kuz'micheva G. M., Rybakov V. B., Dubovskii A. B., Tyunina E. A., Stepanov S. Yu. Svyaz' me-

- zhdu usloviyami vyrashchivaniya, stroeniem i opticheskimi svoistvami kristalloy langasita — La₃Ga₅SiO₁₄ / Perspekt. Mater. 2004. N 4. P. 17 – 30 [in Russian].
11. Buzanov O. A., Didenko I. S., Kozlova N. S., Skryleva E. A., Kozlova A. P., Siminel N. A. Vliyanie izotermicheskogo otzhi-ga na opticheskie parametry lantan-gallievogo tantalata / Izv. Vuzov. Mater. Èlektr. Tekhn. 2012. N 1. P. 22 – 25 [in Russian].
 12. Fiziko-khimicheskie svoistva okislov / G. V. Samsonov (ed.). — Moscow: Metallurgiya, 1978. — 472 p. [in Russian].
 13. Kugaenko O. M., Petrakov V. S., Sagalova T. B., et al. Rentgenostrukturnye issledovaniya temperaturnoi ustochivosti struktury kristalloy semeistva langasita / Papers of the Third Int. Youth Sci. School-Sem. “Modern methods of analyzing the diffraction data (diffraction methods for nanotechnology) and topical issues of X-ray optics.” — Novgorod, 2011. P. 68 – 69 [in Russian].
 14. Akchurin M. Sh., Galstyan V. G., Regel' V. R., Rozhanskiy V. N. Mikrokadotolyuminestsentnoe issledovanie pereme-shcheniya tochechnykh defektov pri indentirovaniyu tugo-plavkikh kristalloy / Poverkhn. Fiz. Khim. Mekh. 1983. N 3. P. 119 – 123 [in Russian].
 15. Akchurin M. Sh., Galstyan V. G., Regel' V. R. O prirode deformirovaniya kristalloy sosredotochennoi nagruzkoj. RÉM issledovaniya / Izv. AN SSSR. Ser. Fiz. 1991. V. 5. N 8. P. 1556 – 1567 [in Russian].

УДК 53.082.6

ИЗМЕРЕНИЕ КОЭФФИЦИЕНТА ТЕМПЕРАТУРОПРОВОДНОСТИ МЕТАЛЛОВ

© А. И. Шевченко¹

Статья поступила 12 марта 2014 г.

Изложен метод измерения коэффициента температуропроводности образца круглого длинного стержня металлов и сплавов в режиме импульсного нагревания. Основной целью метода является повышение точности измерения температуропроводности металлов и уменьшение времени его проведения с помощью оценки термограммы нагревания образца.

Рассмотрено параболическое уравнение теплопроводности для полуограниченного тонкого стержня с теплоизолированной боковой поверхностью. Оценены два варианта метода. Первый базируется на определении второй производной от температуры по координате, второй — на использовании первой производной по времени.

Предложенный метод может найти применение в металлургии и литейном производстве при измерении температуропроводности металлов.

Ключевые слова: измерения; металл; температуропроводность; импульсный метод нагревания.

Коэффициент температуропроводности образца круглого сечения используют в металлургии и литейном производстве, а также в тепловой энергетике, химической и машиностроительной отраслях промышленности.

Метод определения теплофизических характеристик материалов изложен в работе [1]. При данном методе на поверхность исследуемого материала воздействуют тепловым импульсом от линейного источника теплоты и регистрируют температуру в двух точках поверхности в фиксированный момент времени.

Коэффициент температуропроводности рассчитывается по формуле $a = 0,36x_1^2/\tau_1$, где x_1 — координата, которая отсчитывается от оси линейного источника; τ_1 — момент времени, когда разница $\Delta T(\tau_1)$ равняется избыточной температуре в точке контроля, которая измеряется на линии нагревания и на заданном расстоянии от этой линии. К недостаткам этого способа относится то, что измерение расстояния в двух точ-

ках образца для двух температур повышает величину погрешности контроля. Кроме этого, образец не является одномерным и теплота распространяется не только по поверхности, но и в глубину образца.

Известен метод [2, 3], при котором по термограмме нагревания и охлаждения тыльной поверхности образца определяется температуропроводность. В основе его лежит тепловое воздействие импульса лазера длительностью $\tau_u = 1 – 2$ мс на фронтальную поверхность образца и измерение температур на его тыльной поверхности. Коэффициент температуропроводности (если теплообменом можно пренебречь) в интервале $0 < Fu < 1$ (Fu — критерий Фурье) составляет $a = 1,37(1 + 0,561\tau_u/\tau_{1/2})^2/(\pi^2\tau_{1/2})$, где $\tau_{1/2}$ — время достижения температуры тыльной стороны образца, равной половине максимальной температуры образца, s ; l — длина образца, м.

Недостатком указанного метода является небольшая точность измерения температуры термопреобразователем, поскольку необходимо точно зафиксиро-

¹ Главная астрономическая обсерватория Национальной академии наук Украины, Киев, Украина; e-mail: soi_51@ukr.net